

35

И Н С Т И Т У Т
ЯДЕРНОЙ ФИЗИКИ СОАН СССР

ПРЕПРИНТ 34

А.Б.Михайловский, А.З.Паташинский,
А.М.Фридман, Я.Г.Эпельбаум

УСТОЙЧИВОСТЬ ШАРОВОГО СКОПЛЕНИЯ ЗВЁЗД
С БОЛЬШИМ ГРАВИТАЦИОННЫМ КРАСНЫМ
СМЕЩЕНИЕМ

Новосибирск

1969

А.Б.Михайловский, А.З.Паташинский,
А.М.Фридман, Я.Г.Эпельбаум

УСТОЙЧИВОСТЬ ШАРОВОГО СКОПЛЕНИЯ ЗВЕЗД С БОЛЬШИМ
ГРАВИТАЦИОННЫМ КРАСНЫМ СМЕЩЕНИЕМ

А Н Н О Т А Ц И Я

В работе исследуется устойчивость сферически-симметричной системы вращающихся по круговым траекториям масс (модель шарового скопления звёзд). Такая система, как показал Эйнштейн, может обладать большим гравитационным красным смещением и в то же время быть посчитана в ньютоновском приближении.

Поскольку вероятность парного столкновения звёзд ничтожно мала, анализ устойчивости проводится с помощью бесстолкновительного кинетического уравнения Больцмана-Власова. Излагается метод решения этого уравнения для гравитирующей системы с однородной плотностью вращающихся масс аналогичный известному методу интегрирования по траекториям в физике плазмы. В случае неоднородной плотности устойчивость системы относительно радиальных возмущений оказалось удобным исследовать в приближении многопотоковой гидродинамики.

Доказанная в настоящей работе устойчивость рассматриваемой системы относительно произвольных возмущений, возможно, объясняет тот экспериментальный факт, что возраст шаровых скоплений звёзд велик по сравнению с возрастом спиральных галактик, а также следствует в пользу идеализированной модели квазара, подобной рассмотренной в работе - устойчивой равновесной системы с большим гравитационным красным смещением.

Введение

В последнее время среди астрофизиков значительно возрос интерес к устойчивости сферически-симметричной системы гравитирующих масс, вследствие чего количество теоретических работ на эту тему весьма возросло. Толчком к усилению активности в области теории гравитационной устойчивости сферических масс, явился мощный поток информации, связанной с открытием и изучением квазизвездных источников. Неизменность среднёго потока излучения квазара во времени указывает на отсутствие коллапса, что при характерной массе $M \sim 10^8 - 10^{10} M_\odot$ может объясняться лишь очень специальной равновесной функцией распределения плотности частиц, составляющих источник, по энергиям /1/. Выбор той или иной равновесной функции распределения для построения модели с большим гравитационным красным смещением ζ , прежде всего должен определяться устойчивостью системы описываемой этой функцией, относительно малых возмущений стационарного состояния.

Простейшей моделью равновесной системы с большим ζ является, на наш взгляд, сферически-симметричная система гравитирующих частиц, вращающихся по круговым траекториям вокруг общего центра масс (рис.1).

В настоящей работе показана устойчивость такой системы относительно произвольных малых возмущений. Эта система может одновременно служить в качестве модели шарового скопления /2/. Доказанная устойчивость шарового скопления звёзд относительно произвольных возмущений, возможно, объясняет тот экспериментальный факт, что возраст шаровых скоплений звёзд велик по сравнению с возрастом спиральных галактик.

Потенциал рассматриваемой системы тем меньше отличается от сферически-симметричного, чем больше число частиц содержит сфера произвольного радиуса, которую в данном случае можно рассматривать как дебаевскую сферу /3/. Если число частиц в дебаевской сфере велико, можно пренебречь парным взаимодействием частиц друг с другом /3/. Действительно, если в системе между N частицами имеет место только гравитационное взаимодействие, то парное взаимодействие оказывается в равновесной системе, грубо говоря, в N раз (точнее $N/\ln N$) слабее

коллективного взаимодействия. Следовательно, в первом приближении задача сводится к движению частиц в коллективном самосогласованном гравитационном поле^{x)}. Бесстолкновительное движение частиц описывается кинетическим уравнением Больцмана - Власова /4-7/. В § 2 излагается метод решения кинетического уравнения аналогичный известному методу интегрирования по траекториям в физике плазмы /9/. В § 3 приведён спектр собственных частот системы, представляющий собой дискретный набор действительных чисел.

В заключении работы описываются возможные механизмы неустойчивости аналогичных систем, которые в данном случае по тем или иным причинам оказались подавленными.

В Приложении к статье обсуждается возможность описания рассмотренной выше системы в приближении многопотоковой гидродинамики. В качестве примера найден в этом описании спектр радиальных колебаний неоднородного шара.

§ 2. Вывод уравнения собственных колебаний

Пусть в единичном интервале координатно-скоростного пространства находится $f(\vec{r}, \vec{v}, t)$ частиц. Функция f удовлетворяет кинетическому уравнению

$$\frac{\partial f}{\partial t} + \vec{v} \frac{\partial f}{\partial \vec{r}} + \vec{v} \frac{\partial f}{\partial \vec{v}} = 0 \quad (1)$$

где $\dot{V} = V(\varphi)$, φ - гравитационный потенциал. Последний, в свою очередь, связан уравнением Пуассона с $f(\vec{v}, t)$

$$\Delta \varphi = 4\pi G n \quad (2)$$

в котором

$$n = \int f d\vec{v} \quad (3)$$

G - гравитационная постоянная.

x) Эта оценка не применима, когда имеются прямые неупругие столкновения звёзд. В дальнейшем будут рассматриваться системы, в которых неупругие столкновения настолько редки, что ими можно пренебречь (так же, как упругими).

Будем использовать сферические координаты r, θ, φ и характеризовать скорость величинами $V_r, V_\perp = (\dot{V}_\theta^2 + \dot{V}_\varphi^2)^{1/2}$, $\alpha = \arctg(V_\varphi/V_\theta)$. В этих переменных уравнения (1) записывается в виде

$$\hat{\mathcal{L}} f + V_r \left(\frac{\partial f}{\partial r} - \frac{V_\perp}{r} \frac{\partial f}{\partial V_r} \right) + \left(\frac{V_\perp^2}{r} - \frac{\partial^2 f}{\partial r^2} - \vec{\nabla}_\perp \cdot \frac{\partial f}{\partial \vec{V}_\perp} \right) = 0 \quad (4)$$

где

$$\vec{\nabla}_\perp \cdot \frac{\partial f}{\partial \vec{V}_\perp} = \frac{1}{r} \left(\cos \alpha \frac{\partial^2 f}{\partial \theta^2} + \frac{\sin \alpha}{\sin \theta} \frac{\partial^2 f}{\partial \varphi^2} \right) \frac{\partial f}{\partial r} - \frac{1}{r V_r} \left(\sin \alpha \frac{\partial^2 f}{\partial \theta^2} - \cos \alpha \frac{\partial^2 f}{\partial \varphi^2} \right) \frac{\partial f}{\partial V_r} \quad (5)$$

$$\hat{\mathcal{L}} = \frac{\partial^2 f}{\partial r^2} + \frac{V_\perp^2}{r^2} \left[\cos^2 \alpha \frac{\partial^2 f}{\partial \theta^2} + \frac{\sin^2 \alpha}{\sin^2 \theta} \frac{\partial^2 f}{\partial \varphi^2} - \cot \theta \cos \alpha \frac{\partial^2 f}{\partial \theta \partial \varphi} \right] \quad (6)$$

Линеаризуем уравнения (2) - (4), обозначая равновесные величины индексом нуль, а возмущенные индексом единица. Полагаем, что в равновесном состоянии потенциал зависит только от радиуса, $\varphi_0 = \varphi_0(r)$, а частицы не имеют радиальной скорости и их число в каждой точке сферы произвольного радиуса r не зависят от θ и φ и симметрично по α . $f_0 = \delta(V_r) \cdot F(r, V_\perp)$. Для функции F из (4) получаем уравнение

$$\left(\frac{V_\perp^2}{r} - \frac{\partial^2 \varphi_0}{\partial r^2} \right) F = 0 \quad (7)$$

Это означает, что F - функциональна по V_\perp . Нормировочный коэффициент находим с помощью (3)

$$F = \frac{n_0}{2\pi V_0} \delta(V_\perp - V_0) \quad (8)$$

где $V_0 = \left(\frac{\partial \rho_0}{\partial r}\right)^{1/2}$; ρ_0 - равновесная плотность. По следнюю считаем независимой от радиуса, что, в согласии с (2), оправдано при радиальной зависимости ρ_0 вида

$$\rho_0 = R^2 r^2 / 2 \quad (9)$$

где $R^2 = \frac{4\pi G \rho_0}{3}$ (10)

при этом $V_0 = Rr$

В линейном приближении из (4) следует

$$\hat{L} f_1 + V_r \left(\frac{\partial f_1}{\partial r} - \frac{V_1}{r} \frac{\partial f_1}{\partial V_1} \right) + \left(\frac{V_1^2}{r} - \frac{\partial \rho_0}{\partial r} \right) \frac{\partial f_1}{\partial V_r} = \\ = \frac{\partial \rho_1}{\partial r} \frac{\partial f_0}{\partial V_r} + \frac{1}{r} \left(\cos \theta \frac{\partial \rho_1}{\partial \theta} + \sin \theta \frac{\partial \rho_1}{\partial \varphi} \right) \frac{\partial f_0}{\partial V_1} \quad (11)$$

Учитывая, что $f_0 \sim \delta(V_r) \delta(V_1 - V_0)$, находим, что (11) удовлетворяется при f_1 вида

$$f_1 = \delta(V_r) [A \delta(V_1 - V_0) + B \delta'(V_1 - V_0)] - C \delta'(V_r) \delta(V_1 - V_0) \quad (12)$$

где штрих - производная по аргументу. Из (11) находим, что функции A, B, C удовлетворяют уравнениям:

$$\hat{L}^0 A - \frac{1}{r^2} \left(\hat{L}^0 - \frac{\partial}{\partial t} \right) B + \frac{1}{r} \frac{\partial}{\partial r} (C r) = 0 \quad (13)$$

$$\hat{L}^0 B - 2rC = \frac{\rho_0}{2\pi R^2 r^2} \left(\hat{L}^0 - \frac{\partial}{\partial t} \right) \rho_1 \quad (14)$$

$$\hat{L}^0 C + 2rB = - \frac{\rho_0}{2\pi R^2 r} \frac{\partial \rho_1}{\partial r} \quad (15)$$

Оператор \hat{L}^0 отличается от оператора \hat{L} заменой V_1/r на r . Согласно (3), при f_1 вида (12), возмущение плотности равно:

$$\kappa_1 = \int_0^{2\pi} (r \cdot A - B) d\theta \quad (16)$$

Путь решения уравнений (13) - (15) и отыскания κ_1 состоит в следующем. Умножая обе части равенства (24) на оператор \hat{L}^0 и выражая с помощью (15) величину $\hat{L}^0 C$ через B и ρ_1 , получаем:

$$(\hat{L}^0 + 2rB)(\hat{L}^0 - 2rB)B = \frac{\rho_0}{2\pi R^2 r^2} \left[(\hat{L}^0 - \frac{\partial}{\partial t}) \hat{L}^0 \rho_1 + 2r^2 r \frac{\partial \rho_1}{\partial r} \right] \quad (17)$$

Отсюда

$$B = \frac{\rho_0}{2\pi R^2 r^2} (\hat{L}^0 - 2rB)^{-1} (\hat{L}^0 + 2rB)^{-1} \left[(\hat{L}^0 - \frac{\partial}{\partial t}) \hat{L}^0 \rho_1 + 2r^2 r \frac{\partial \rho_1}{\partial r} \right] \quad (18)$$

где степень -1 означает обратный оператор, действие которого разъясним несколько позже.

Функцию A с помощью уравнений (13) и (15) выражаем через B и ρ_1 :

$$A = \frac{1}{r^2} \hat{L}^0 \left[(\hat{L}^0 - \frac{\partial}{\partial t}) B - \frac{1}{r} \frac{\partial}{\partial r} (r \hat{L}^0 B) + \frac{\rho_0}{2\pi R^2 r^2} \left(\hat{L}^0 - \frac{\partial}{\partial t} \right) \frac{\partial}{\partial r} \left(\frac{\rho_1}{r} \right) \right] \quad (19)$$

Этот результат подставим в (16),

$$\kappa_1 = - \int_0^{2\pi} \left\{ \frac{\partial}{\partial t} \hat{L}^0 B + \frac{\rho_0}{2\pi R^2 r^2} \frac{\partial}{\partial r} \left(\frac{\rho_1}{r} \right) \right\} dr \quad (20)$$

Уравнение (20) совместно с (18) даёт искомую связь κ_1 с ρ_1 , необходимую для самосогласованного описания возмущений по - средством уравнения

$$\Delta \Phi_1 = 4\pi G n_1 / (\rho_1) \quad (21)$$

Теперь приведем вид оператора $(\hat{L}^0)^{-1}$. Пусть функция $X = X(t, \theta, \varphi, \alpha)$ удовлетворяет уравнению

$$\hat{L}^0 X = \alpha \quad (22)$$

где α - некоторая известная функция переменных $t, \theta, \varphi, \alpha$, равная нулю при $t = -\infty$. Оператор \hat{L}^0 можно представить в виде

$$\hat{L}^0 = \frac{\partial}{\partial t} + \frac{d\theta}{dt} \frac{\partial}{\partial \theta} + \frac{d\varphi}{dt} \frac{\partial}{\partial \varphi} + \frac{dd}{dt} \frac{\partial}{\partial d} \quad (23)$$

где производные $d(\theta, \varphi, d)/dt$ означают скорости изменения углов θ, φ, d частицы, движущейся по сфере радиуса R со скоростью $v_i = R\omega$.

$$\frac{d\theta}{dt} = R \cos d, \quad \frac{d\varphi}{dt} = R \frac{\sin d}{\sin \theta}, \quad \frac{dd}{dt} = -R \sin d \operatorname{ctg} \theta \quad (24)$$

Перейдём в уравнении (22) от переменных θ, φ, d к переменным θ_0, φ_0, d_0 , связанным с θ, φ, d, t соотношениями

$$\theta_0 = \theta - R \int_{t_0}^t \cos d dt \quad (25)$$

$$\varphi_0 = \varphi - R \int_{t_0}^t \frac{\sin d}{\sin \theta} dt$$

$$d_0 = d + R \int_{t_0}^t \sin d \operatorname{ctg} \theta dt$$

Величины θ_0, φ_0, d_0 обозначают углы $\theta(t_0), \varphi(t_0), d(t_0)$, которыми при $t = t_0$ обладает частица, характеризующаяся в момент времени t углами $\theta = \theta(t), \varphi = \varphi(t), d = d(t)$. В новых переменных уравнение (22) имеет вид

$$\left(\frac{\partial X}{\partial t} \right)_{\theta_0, \varphi_0, d_0} = \alpha [t, \theta(t, \theta_0, \varphi_0, d_0), \varphi(t, \theta_0, \varphi_0, d_0), \dots] \quad (26)$$

Отсюда

$$X = \int_{-\infty}^t \alpha [t', \theta(t'), \varphi(t'), d(t')] dt' \quad (27)$$

Возвращаясь в этом уравнении снова к переменным θ, φ, d и вспоминая, что $X = (\hat{L}^0)^{-1} \alpha$, находим вид обратного оператора

$$\hat{L}^{0-1} \alpha = \int_{-\infty}^t \alpha \{ t', \theta[t', \theta_0(t, \theta, \varphi, d), \dots] \} dt' \quad (28)$$

где многоточием обозначены φ_0, d_0 , выраженные через t, θ, φ, d . Аналогичным путём находим

$$[\hat{L}^0 \pm 2i\omega]^{-1} \alpha = \int_{-\infty}^t e^{\mp 2i\omega(t-t')} \alpha(t') dt' \quad (29)$$

Теперь опишем конкретный путь вычисления интегралов типа (28), (29). Пусть возмущение потенциала имеет вид:

$$\tilde{\Phi}_1 = \chi_e(r) \tilde{\Phi}_1'(t, \theta, \varphi) \quad (30)$$

где

$$\varphi_i^e = e^{-i\omega t} \bar{Y}_m^e(\varphi, \theta) \quad (31)$$

$$Y_m^e(\varphi, \theta) = e^{-im(\frac{\pi}{2}-\varphi)} P_{mo}^e(\cos \theta)$$

$$P_{mo}^e(\cos \theta)$$

- функции, с точностью до коэффициентов совпадающие с полиномами Лежандра (см. книгу Виленкина /10/). Все нормировочные коэффициенты включены в $\chi_e(n)$.

При α , равном правой части (31), уравнения (28), (29) записываются так

$$(\hat{L}^0 + i\vartheta R)^{-1} a = e^{-i\omega t} \int_0^\infty e^{i(w-\vartheta R)\tau} Y_m^e[\varphi(t-\tau), \theta(t-\tau)] d\tau \quad (32)$$

$\vartheta = 0, \pm 2$

переменная интегрирования τ' заменена на $\tau = t - \tau'$. Из уравнений движения (24) находим:

$$\begin{aligned} \cos \theta(t) &= \cos \vartheta \sin \psi(t) \\ \operatorname{tg}(\tilde{\varphi}_0 - \psi(t)) &= \operatorname{ctg} \psi(t) / \sin \vartheta \\ \operatorname{ctg} \vartheta(t) &= -\operatorname{ctg} \vartheta \cos \psi(t) \end{aligned} \quad (33)$$

$$\text{где } \psi(t) = \psi_0 + \vartheta(t-t_0) \quad (34)$$

Здесь введены константы $\tilde{\varphi}_0, \psi_0, \vartheta$, которые можно выразить через $\vartheta_0, \psi_0, \dot{\vartheta}_0$, рассмотрев (33) при $t = t_0$.

Учитывая (33) и используя теорему сложения, представим Y_m^e в виде суммы трехиндексных функций /10/:

$$Y_m^e[\Theta(t-\tau), \tilde{\varphi}_0, \vartheta, \psi_0], \Psi[t-\tau, \tilde{\varphi}_0, \vartheta, \psi_0] = \quad (35)$$

$$= \sum_{s=-e}^e T_{ms}^e \left[\frac{\pi}{2} - \tilde{\varphi}_0, \vartheta, \frac{\pi}{2}, \frac{\pi}{2} - \psi(t) \right] P_{so}^e(\vartheta) \int_0^\infty e^{i(w-\vartheta R)\tau} d\tau$$

Здесь функция

$$T_{ms}^e[\varphi, \theta, \psi] = e^{-im\varphi - is\psi} P_{ms}^e(\cos \theta) \quad (36)$$

С помощью (36) преобразуем правую часть (32):

$$\begin{aligned} [\hat{L}^0 + i\vartheta R]^{-1} a &= e^{-i\omega t} \sum_{s=-e}^e T_{ms} \left[\frac{\pi}{2} - \tilde{\varphi}_0, \vartheta, \frac{\pi}{2} \right. \\ &\quad \left. \frac{\pi}{2} - \psi(t) \right] P_{so}^e(\vartheta) \times \int_0^\infty e^{i[w-(\vartheta+s)\vartheta]\tau} d\tau \end{aligned} \quad (37)$$

Интеграл по τ вычисляется с учётом правила обхода Ландау ($w \rightarrow w + i\Delta$), $\Delta \gg 0$):

$$\int_0^\infty \exp\{i[w-(\vartheta+s)\vartheta]\tau\} d\tau = e^{i/w - (\vartheta+s)\vartheta} \quad (38)$$

Затем используя преобразование (являющееся так же, как и (35)),

следствием теоремы сложения):

$$T_{ms}^{\ell} \left[\frac{\tilde{r}}{z} - \tilde{\varphi}_0, \tilde{\vartheta} - \frac{\tilde{r}}{z}, \frac{\tilde{r}}{z} - 4\ell(t) \right] = \sum_{s=-\ell}^{\ell} T_{ms}^{\ell} \left(\frac{\tilde{r}}{z} - \varphi(t), \theta(t), \right. \\ \left. \frac{\tilde{r}}{z} - \alpha(t) \right] \times e^{-is\tilde{\vartheta}} P_{s,s}^{\ell}(c) \quad (39)$$

и соотношения (25), переходим от переменных $\tilde{\varphi}_0, \tilde{\vartheta}, \tilde{\varphi}$ к переменным θ, φ, α . Этим завершается вычисление функции B .

Представляем результат в (20) и, интегрируя по углу α , получаем выражение для возмущенной плотности:

$$n_s = e^{-i\omega t} Y_m^{\ell}(\varphi, \theta) \frac{R_0}{R^2} \left\{ \left[\frac{d^2 \chi_e}{dr^2} + 2 \frac{\partial}{\partial r} \left(\frac{\chi_e}{r} \right) \right] \right. \\ \times \sum_{s=-\ell}^{\ell} |P_{s,0}^{\ell}(c)|^2 \frac{+ R^2}{4R^2 - (\omega - sR)^2} + \frac{\chi_e}{r^2} \sum_{s=-\ell}^{\ell} |P_{s,0}^{\ell}(0)|^2 \times \\ \times \left. \frac{2\omega R^2 + 5\omega R(\omega - R)}{(\omega - R)[(\omega - sR)^2 - 4R^2]} \right\} \quad (40)$$

где

$$|P_{s,0}^{\ell}(0)|^2 = \frac{(\ell+s)! (\ell-s)!}{\left[\left(\frac{\ell+s}{2} \right)! \left(\frac{\ell-s}{2} \right)! 2^{\ell} \right]^2} \quad (41)$$

Преобразуем правую часть (40), разлагая функции частоты ω на простые дроби. Таким путём уравнение Пуассона (21) сводится к виду

$$(1 + \alpha_e) \Delta \chi_e = 0 \quad (42)$$

Здесь

$$\Delta = \frac{d^2}{dr^2} + \frac{2}{r} \frac{d}{dr} - \epsilon(\epsilon+1)/r^2 \quad (43)$$

$$\alpha_0 = 3R^2/\omega^2 - 4R^2$$

$$\alpha_1 = \frac{(\omega^2 - 3R^2) 3R^2}{(\omega^2 - R^2)(\omega^2 - 5R^2)}$$

$$\alpha_2 = \frac{3R^2(\omega^2 - 7R^2)}{(\omega^2 - 16R^2)(\omega^2 - 4R^2)} \quad (44)$$

$$\alpha_e = \sum_{s=-(\ell+2)}^{\ell+2} ds^{\ell} / \frac{\omega}{R} - s; \quad \ell = 3, 4, 5, \dots \quad (45)$$

Суммирование ведется по s' в (45) при условии чётности числа $(\ell + s')$

$$ds^{\ell} = \frac{3}{4} \left\{ |P_{s-2}^{\ell}(c)|^2 - |P_{s+2}^{\ell}(c)|^2 \right\} / s(s+2) \quad (46)$$

$$ds^{\ell} = \mp \frac{3}{4} |P_{\ell-2}^{\ell}(c)|^2$$

$$ds^{\ell}_{\pm(\ell+2)} = \mp \frac{3}{4} |P_{\ell}^{\ell}(0)|^2$$

Уравнение (42) удовлетворяется при произвольной радиальной зависимости P_1 , если

$$1 + \alpha_e = 0 \quad (47)$$

Это и есть искомое дисперсионное уравнение собственных колебаний однородного шара. Случай $\Delta \chi_e = 0$ соответствует отсутствию возмущений.

§ 3. Частоты собственных колебаний

Рассмотрим следствия, вытекающие из дисперсионного уравнения (47), при различных орбитальных числах ℓ . Возмущения $\ell = 0$, соответствующие радиальным смещениям шара, имеют частоту

$$\omega^2 = \ell^2 \quad (48)$$

Этот результат совпадает с полученным другим способом (в приближении многопотоковой гидродинамики) в Приложении. Случай $\ell=1$, соответствующий дипольному возмущению, оказывается выделенным в том смысле, что требует дополнительного условия — сохранения полного импульса системы

$$\int_0^R \rho_1 r^3 dr = 0 \quad (49)$$

Условие (49), как легко показать, эквивалентно $\Delta\chi = 0$ (только при $\ell=1$), т.е. отсутствию возмущений $\rho_1 = 0$.

Устойчивость имеет место при всех остальных ℓ . В случае $\ell = 2$ квадраты собственных частот равны

$$\omega_{1,2}^2 = \frac{1}{2} (17 \pm \sqrt{117}) \ell^2 \quad (50)$$

При $\ell = 3$ из (45) находим

$$\alpha_3 = \frac{3\ell^2(\omega^2 - 13\ell^2)\omega^2}{(\omega^2 - \ell^2)(\omega^2 - 9\ell^2)(\omega^2 - 25\ell^2)} \quad (51)$$

При $\ell \geq 3$ из соотношений (45 – 47) следует:

$$\text{Im } \alpha_e(\omega^2) = 0; \quad \text{Im } \omega^2 = 0; \quad \text{Re } [1 + \alpha_e(\omega^2)] = 0; \quad (52)$$

x) Для всех остальных ℓ сохранение полного импульса автоматически обеспечивается угловой зависимостью $\rho_1(\theta)$.

Используя соотношение полноты и нормировку для $P_{s0}^e(\cos\theta)$

$$\sum_{s=0}^{+\ell} |P_{s0}^e(\cos\theta)|^2 = 1 \quad (53)$$

для $\omega^2 \leq 0$ приходим к противоречию с (52):

$$\text{Re } [1 + \alpha_e(-\omega^2)] > 0 \quad (54)$$

Заметим, что устойчивость системы относительно радиальных возмущений очевидна из качественных соображений.

Действительно, обратимся прежде всего к работе /11/, где доказана устойчивость рассматриваемой системы относительно радиальных возмущений с помощью энергетического принципа, развитого для вращающихся гравитационных систем /12/, /13/. Вследствие известного факта неизменности момента вращения системы, находящаяся в положении равновесия на "дне" потенциальной "ямы", при радиальных возмущениях увеличивает свою потенциальную энергию и тем самым переходит в неравновесное состояние (рис.2). Дальнейший процесс — колебание — происходит уже spontанно.

Теперь представим себе, что систему подвергли нерадиальным возмущениям, вследствие чего форма кривой потенциальной энергии $U = U(r)$ изменилась: $U = U(r, \theta, \varphi, \psi)$. В этом случае система, перейдя из положения r_c в положение

$r_c(\theta = \theta_0, \varphi = \varphi_0)$, может вновь занять точку минимума на кривой $U = U(r, \theta_0, \varphi_0)$ (рис.3). Таким образом устойчивость системы по отношению к таким возмущениям, a priori не очевидна.

Более того, качественное исследование устойчивости с помощью различного рода критериев, используемых в физике плазмы, на первый взгляд приводит к выводу о неустойчивости рассмотренной нами системы. Так например, критерий пучковой неустойчивости $\partial f_0 / \partial V > 0$ выполняется для нашей системы.

Этот критерий, как известно, является необходимым, но не достаточным для развития неустойчивости. Для того, чтобы неустойчивость развивалась, требуется достаточная близость $\max f_0$. В нашем случае расстояние между максимумами равно величине скорости (или разброса скоростей, связанного с различием на

правлений скоростей частиц), что приводит к устойчивости сис - темы.

Критерий гравитационной неустойчивости /7/, использую - щий термины типа анизотропной температуры, в нашем случае не может быть применен. Дело в том, что понятие температуры для нашей системы не имеет четкого смысла. Температура, как мера разброса частиц по энергиям, в нашем случае равна нулю и изо - тропна. Если же определить температуру, как меру энергии час - тицы, то радиальная температура T_r равна нулю, а температу - ра в шаровом слое $T_1 \sim V_1^2$, и в этом смысле имеется анизотропия температур. Для такой "температуры" выполнен кри - терий анизотропной неустойчивости, но использование критерия лишено чёткого смысла.

§ 4. Заключение

Мы рассмотрели малые возмущения сферически-симметрич - ной гравитирующей системы вращающихся тел, полагая, что тра -екторией каждого тела является окружность и что средняя мас -совая плотность не зависит от радиуса. Показано, что при этих предположениях частоты всех возмущений вещественны, т.е. та -кая система устойчива. В реально наблюдаемых шаровых скопле -ниях плотность всегда падает к краю довольно резко $1/r^2$.

$\frac{1}{r^3}$. Энергетические оценки позволяют предположить, что системы, аналогичные рассмотренной, с плотностью, падающей к краю, имеют большой запас устойчивости по сравнению с одно - родной системой. Разумно предположить, что случай некруговых орбит не изменит вывода об устойчивости системы.

В работах /8, 13/ показано, что эволюция звездных систем более сложного типа, содержащих две или более подсистемы, приводит к образованию спиральных рукавов.

Выход настоящей работы об устойчивости шарового скоп -ления звёзд совместно с результатами /8, 13/ свидетельствует в пользу гипотезы Оорта /14,15/ об эволюции галактик. Соглас -но этой гипотезе различные формы галактик рассматриваются, в отличие от Хабла /16/, не как последовательные стадии эволю -ционного развития, а как результат различий в начальных услови -ях их возникновения (в зависимости от величины суммарного мо -мента количества движения и др.).

Авторы глубоко благодарны Я.Б.Зельдовичу за постоянный интерес к работе и ценные советы.

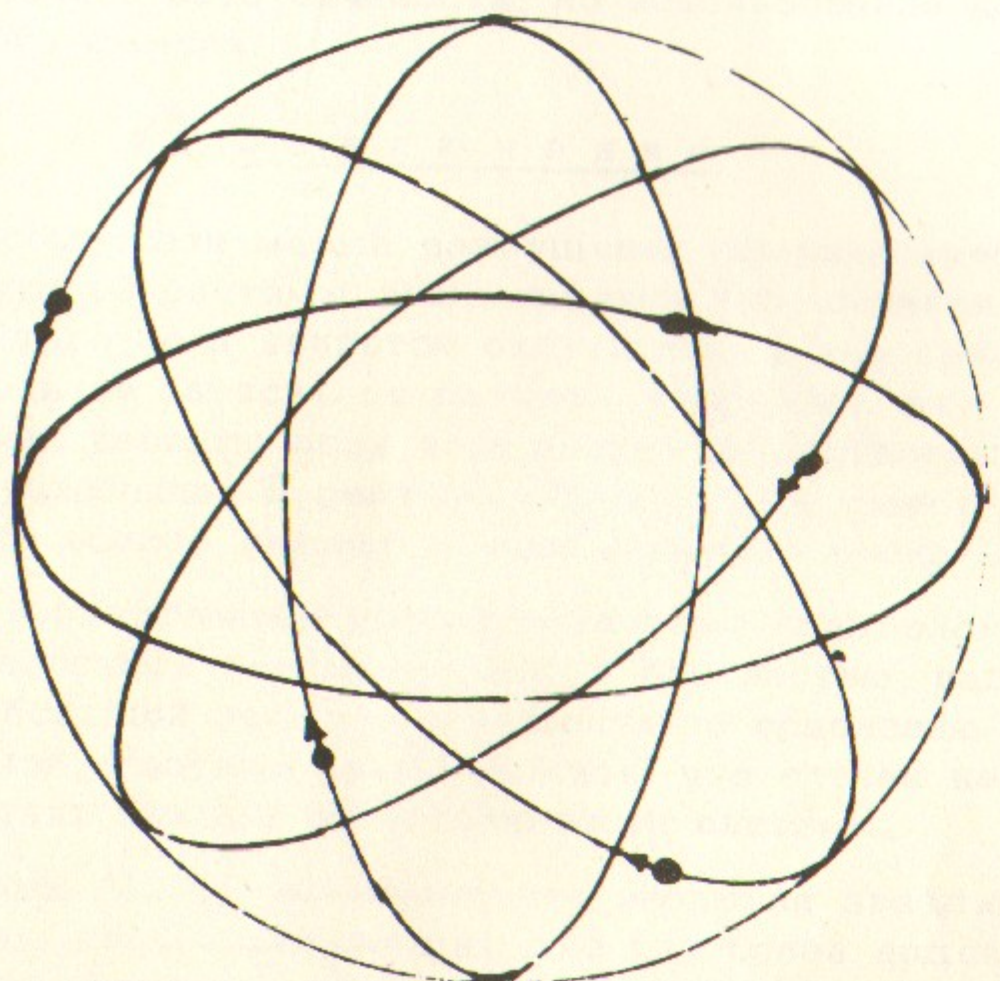


Рис.1. Модель Эйнштейна шарового скопления звёзд. Все звёзды движутся по круговым траекториям вокруг общего центра масс.

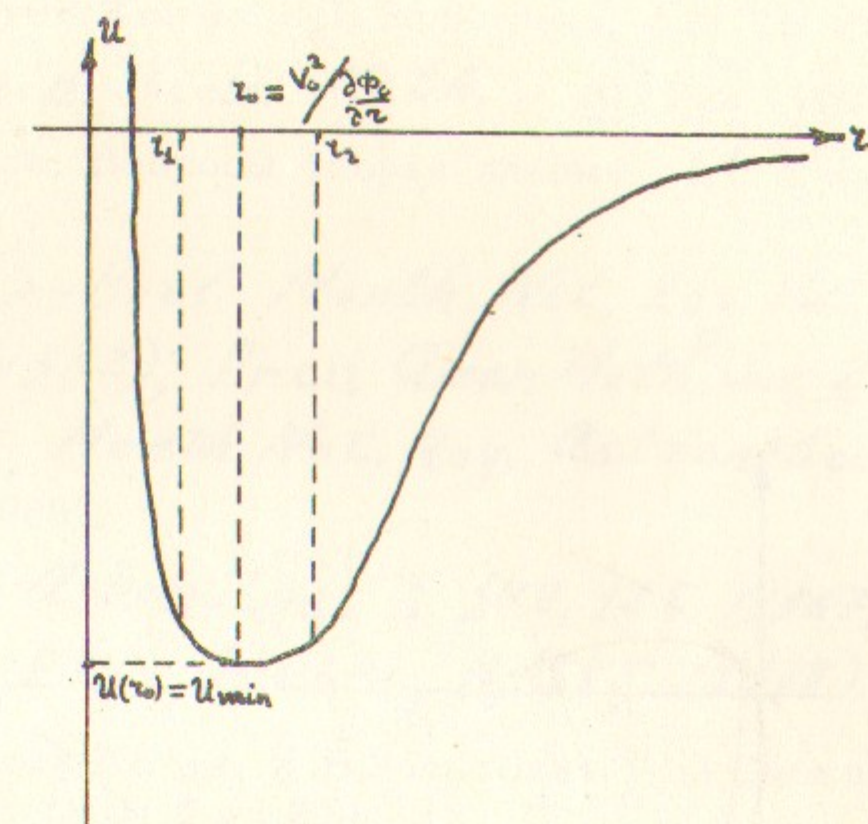


Рис.2. Если рассмотреть произвольную сферу радиуса r_0 , то при малых радиальных возмущениях системы "внешние" сферы не оказывают на неё влияния (в отсутствие самопересечений). Такая сфера находится лишь в центральном поле "внутренних" сфер, причём в отсутствие самопересечений задача о колебаниях любой сферы в поле других оказывается кеплеровской. Тогда потенциальная энергия сферы описывается кривой $U(r)$, показанной на рисунке. Точка r_0 соответствует стационарному состоянию системы, когда все звёзды движутся по окружностям. Точки r_1 и r_2 соответствуют предельным радиусам сферы при радиальных возмущениях. Как видно из рисунка $U(r_1) > U(r_2)$, что доказывает устойчивость системы относительно радиальных возмущений.

Простые оценки показывают, что влиянием эффектов самопересечений при малых колебаниях можно пренебречь. Строгий учёт влияния самопересечений, выполненный в [11], показал, что самопересечения делают систему еще более устойчивой относительной радиальных возмущений.

Л и т е р а т у р а

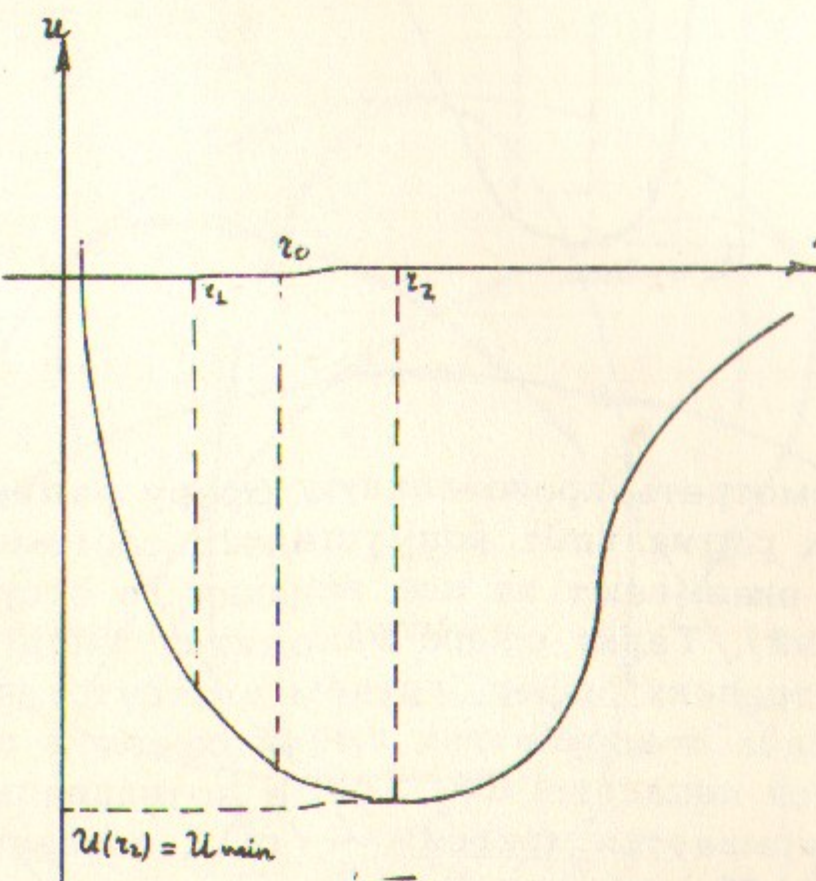


Рис.3. Та же сфера радиуса r_0 , подвергнутая нерадиальным возмущениям. Поскольку при нерадиальных возмущениях квадрат момента сферы $M^2 = \sum M_i^2$ не сохраняется, форма первоначальной кривой $U(r)$ в отличие от случая радиальных возмущений изменяется. На рисунке изображена кривая $U = U(r, \theta_0, \varphi_0)$, минимум которой находится в точке $r_2 (\theta = \theta_0, \varphi = \varphi_0)$. Устойчивость системы при этом заранее не очевидна.

1. Г.С.Бисноватый-Коган, Я.Б.Зельдович. АЖ (в печати).
2. A. Einstein Ann. Math. 40, 922 (1939).
3. Б.А.Трубников. Вопросы теории плазмы, т.1. Госатомиздат, М., 1963.
4. L. Lynden-Bell Month. Not. Roy. Astron. Soc. 124, 279 (1962); Proc. Amer. Math. Soc. 2 (1967)
5. P. Sweet, Month. Not. Roy. Astron. Soc. 125, 285 (1963).
6. E. P. Lee Astrophys. J. 148, 125 (1967)
7. C.S. Wu Phys. Fluids, 11, 545 (1968)
8. Г.С.Бисноватый-Коган, Я.Б.Зельдович, Р.З.Сагдеев, А.М.Фридман, ПМТФ, № 3, 3 (1969).
9. M.N. Rosenbluth, N.A. Krall, N. Rostoker Nucl. F. Sapp. 1, 143 (1962)
10. Н.Я.Виленкин. Специальные функции и теория групп, Изд-во "Наука", 1965.
11. Г.С.Бисноватый-Коган, Я.Б.Зельдович, А.М.Фридман. ДАН СССР, 182, № 4 (1968).
12. А.М.Фридман, АЖ, 43, 327 (1966).
13. В.Л.Поляченко, А.М.Фридман, АЖ (в печати).
14. J.H. Oort. Scientific American 195, 101 (1956).
15. J.H. Oort Structure and Evolution of the Galactic System , доклад на съезде МАС в Гамбурге, 1964 г.
16. J. Jeans, Astronomy and Cosmogony Cambridge (1929)
17. Л.Д.Ландау, ЖЭТФ, 16, 574 (1946).

Ответственный за выпуск Я.Г.Эпельбаум
Подписано к печати 25 ноября 1969 г.
Усл. 1 печ.л., тираж 250 экз. Бесплатно
Заказ № 341

Отпечатано на ротапринте в ИЯФ СО АН СССР